

## I-B44 非定常空気力測定装置の開発

九州産業大学工学部 正会員 吉村 健 正会員 龜井頼隆  
 川田建設株式会社 正会員 堀口和広  
 九州産業大学大学院 学生会員 小松和憲 篠原輝之

## 1. まえがき

従来開発されてきた大半の非定常空気力測定装置では、加振模型全体に作用する空気力を測定する手法が用いられている。この手法によれば、剛性を高めるために模型の重量が増し、慣性力に対する空気力の割合が小さくなる。そこで、本研究では発想の転換を計り、「小さい慣性力」、「高い剛性」および「良好な2次元流れ」という、測定精度の向上をもたらす3つの条件を満たす装置を開発した。そして、翼型断面に対する非定常空気力を測定し、その結果を理論値と比較して装置の検定を行った。その概要を以下に記す。

## 2. 設計概念と本装置の概要

Fig. 1は、本研究に先立って設計・製作された装置の概略図であって、2列平行円柱の研究に用いたものを示す[1]。図中Active Partの円柱は、円柱内部の心棒（Beam）に板ばねで弾性支持されている。両端部では、流れの2次元性は良好でないので、図中Dummy Partで記される部分に作用する空気力を切り離し、Active Partに作用する空気力のみ板ばねの歪で検出できるよう工夫した。要するに、『気流に曝されない剛で重い心棒に、軽量なActive PartのModel Skinを弾性支持する』というのが、この装置の設計概念である。

Fig. 2, 3とPhoto 1は、本研究で開発した装置の概略図を示す。床組①②は、上下2対のバスケットハンドル型アーチ③で補剛されており、このタイドアーチ式骨組が上記「心棒」に相当する。Active PartのModel Skinは、図中のFloating Beam④に取り付けられ、④の両端は板ばね⑤で「心棒」に弾性支持される。総幅36cmに対して厚みは3cmであり、Model Skinを④, ⑥から張り出すと断面比は1:12以下となり、扁平で十分剛な「心棒」の製作に成功した。Active Partの重量は、④が約0.5kg, Model Skinは1kg以下といった具合であり、装置全体の重量の1/5以下である。この装置を気流直角方向曲げあるいは断面中心回りのねじれの各1自由度拘束し、

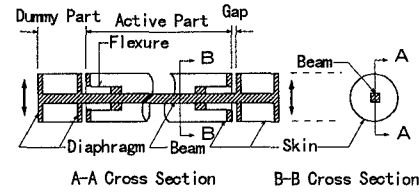


Fig. 1

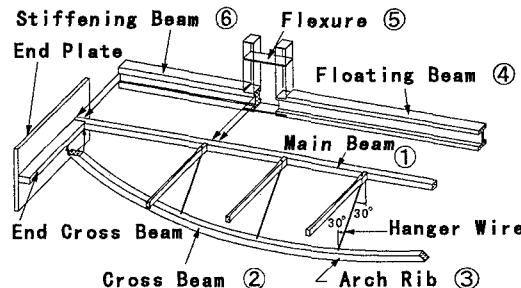


Fig. 2

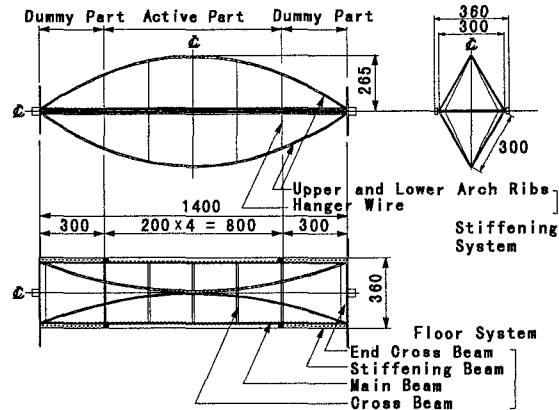


Fig. 3

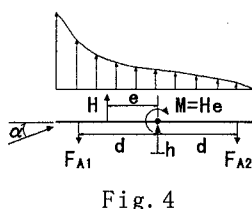


Fig. 4

サーボモーター・ワイヤーロープ  
・ブーリーで加振した。

### 3. 空気力検出における二三の注意

Fig. 4とPhoto 1に示す Active Partの軸直角方向断面を考えると、構造力学的にこの部分は、板ばね

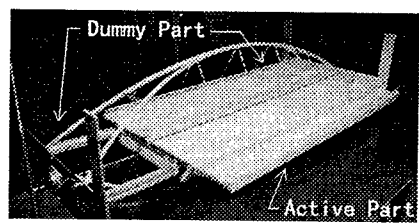


Photo 1

で弾性支持された張出梁と見なされる。その支点反力を板ばねの歪で検出し、 $H = F_{A1} + F_{A2}$ ,  $A = (F_{A1} - F_{A2}) \cdot d$ として揚力と空力モーメントがそれぞれ求まる。

Active Partの Model SkinとFig. 2のBeam④の慣性力は、無風時加振模型の変位信号を用いてキャンセルした。増幅器・フィルター・演算器などで構成される計測システムの入出力間には、位相のずれが生じるので注意を要する。また、歪みゲージのキャリブレーションファクター $C_F$ は、慣性力キャンセル後に Active Partに重りを載せ、その付加慣性力とゲージ出力電圧から動的に求めた。

Fig. 4に示すように、空気力と変位は、いずれも上向きと頭上げ方向を正とし、次式で無次元複素表示した。

$$2H_0/(\rho U^2 B L) = K^2 [H_4^* + iH_1^*] \cdot (h_0/B) + K^2 [H_3^* + iH_2^*] \cdot \alpha_0$$

$$2A_0/(\rho U^2 B^2 L) = K^2 [A_4^* + iA_1^*] \cdot (h_0/B) + K^2 [A_3^* + iA_2^*] \cdot \alpha_0$$

ここに  $K = \omega B/U$  は無次元振動数、 $\omega = 2\pi f$  は円振動数、 $B$  は弦長、 $L$  は Active Part のスパン長。

### 4. 実験結果、考察およびむすび

Fig. 5は、動的キャリブレーションの測定結果の一例を示す。10 gf未満の微少な範囲を除き、付加慣性力と出力電圧の間に良好な線形性が認められる。測定空気力が10 gfを十分越えるよう風速を設定したので、この非線形性を示す範囲を除いて、図中に示す $C_F$ の1次関数表示式を得た。また、ダミーパートと補剛アーチに作用する風荷重が力検出用板ばねの歪みゲージ出力に与える影響は無視できる程小さく、かつ、慣性力のキャンセルもほぼ完璧であることがわかった。

Fig. 6は、鉛直曲げ加振に対する空気力測定結果の例を示す。ただし、 $U_r = U/(fB)$  は無次元風速。図中実線で示す理論値と比較的良好一致している。図に見る測定誤差は、板ばね部分から生じていることが判明しており、これを改良して実験を継続中である。

参考文献 [1] Yoshimura, T. et al: Wind-induced oscillations of groups of bridge stay-cables,

J. Wind Eng. Ind. Aerodyn., 54/55(1995) 251-262.

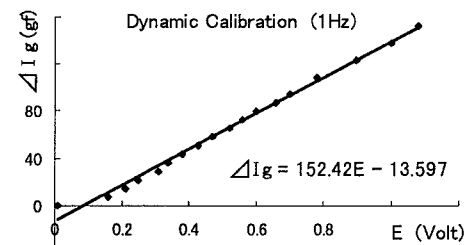


Fig. 5

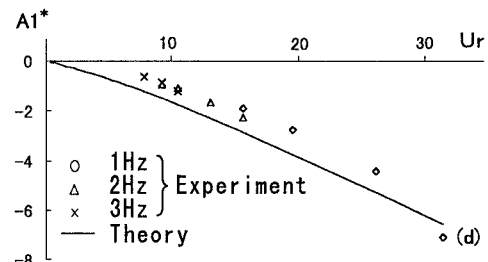
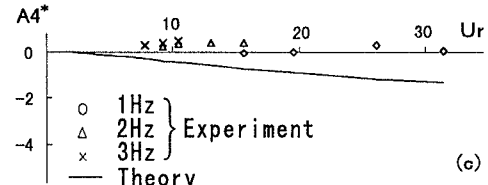
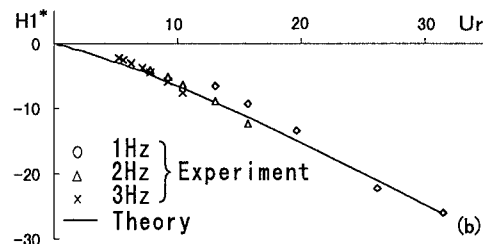
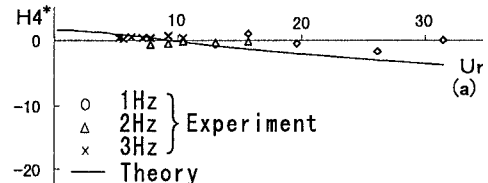


Fig. 6